



Vlaanderen
is omgeving



Operationaliseren en optimaliseren van het submodel WaTEM/SEDEM in CN-WS voor de modellering van erosie en sedimenttransport in Vlaanderen

 **Eindrapport**

**DEPARTEMENT
OMGEVING**

omgevingvlaanderen.be

Operationaliseren en optimaliseren van het submodel WaTEM/SEDEM in CN-WS voor de modellering van erosie en sedimenttransport in Vlaanderen

Deze studie betreft de optimalisering en operationalisering van de modellering van erosie en sedimenttransport met het WaTEM/SEDEM model. Dit model wordt ingezet om sedimentstromen op het land en sedimentaanvoer naar het watersysteem (waterlopen, grachten en riolering) te berekenen en de impact van erosiebestrijdingsmaatregelen te begroten. Concrete eindresultaten zijn een eerste doorrekening van de actuele toestand in Vlaanderen en een impactbeoordeling van enkele toekomstscenario's.

Dit rapport bevat de mening van de auteur(s) en niet noodzakelijk die van de Vlaamse Overheid.

COLOFON

Verantwoordelijke uitgever

Peter Cabus
Departement Omgeving
Vlaams Planbureau voor Omgeving
Koning Albert II-laan 20 bus 8, 1000 Brussel
vpo.omgeving@vlaanderen.be
www.omgevingvlaanderen.be

Auteurs

Daan Renders, Johan Van de Wauw, Sacha Gobeyn – Fluves
Nele Van Ransbeeck - Vlaamse Milieumaatschappij
Petra Deproost – Departement Omgeving, Vlaams Planbureau voor Omgeving

Wijze van citeren

Renders, D., Gobeyn, S., Van de Wauw, J., Van Ransbeeck, N., Deproost, P. (2021). Operationaliseren en optimaliseren van het submodel WaTEM/SEDEM in CN-WS voor de modellering van erosie en sedimenttransport in Vlaanderen. Departement Omgeving, Brussel, 128 pp.

PARTNERS

FLUVES

VLAAMSE
MILIEUMAATSCHAPPIJ

- Landgebruiksmozaïek: een set van tussenproducten van landgebruik en perceleninformatie die gebruikt worden om finaal de CN-WS perceelskaart te definiëren.

7 ONTWIKKELINGEN, DOCUMENTATIE EN VERSIEBEHEER

WaTEM/SEDEM en CN-WS kenden geen versiebeheersysteem voor de start van dit project. Daarom werd voor de aanmaak van de Python scripts en de wijzigingen aan de CN-WS Pascal modelcode een versiebeheersysteem opgezet met Git. Versiebeheer van code met Git laat toe om wijzigingen aan de code op te volgen, en vorige versies terug op te halen en te evalueren. Daarbij laat het systeem systematische reviews toe van code, zodat interne of externe reviewers bepaalde zwakke punten kunnen aanduiden, en verbeteren. Verder helpt dit review proces om de documentatie en transparantie van de code te verhogen. Dit leidt tot een hogere herbruikbaarheid en robuustheid (Chacon and Straub, 2020). In dit project is de typische Git-workflow gevolgd. Voor een uitgebreide duiding van de gebruikte concepten van en workflow met Git wordt verwezen naar het handboek "Pro Git" (Chacon and Straub, 2020).

De ontwikkelingen van de code binnen dit project worden opgesplitst in twee identiteiten: de `CN-WS` Pascal, en de `pynws` Python code. De CN-WS Pascal code is het rekenhart van het model, dewelke verder werkt op de originele code van KU Leuven (zie introductie en sectie 6). De pynws code is de Python wrapper code die gebruikt wordt voor de data verwerking en verwerking van de output (zie sectie 5). De referentiepagina's voor verdere ontwikkelingen van CN-WS en pynws worden gegeven door volgende pagina's:

- CN-WS: <https://cn-ws.github.io/cn-ws> (eerste versie).
- pynws: <https://cn-ws.github.io/pynws> (in ontwikkeling).

Op deze pagina's zullen alle toekomstige (technische) ontwikkelingen gerapporteerd en gedocumenteerd staan. Verder bevatten de pagina's nuttige informatie over de installatie van de code, hoe je een berekening start, welke data je nodig hebt, ... Het is belangrijk om aan te duiden dat pynws gebruik maakt van een specifieke versie van CN-WS. Vanaf pynws versie 4.0.0 staat telkens de versie van CN-WS vermeld die compatibel is met pynws (zie <https://cn-ws.github.io/pynws/changelog.html>).

Het versiebeheer wordt uitgewerkt met een changelog-file (zie <https://cn-ws.github.io/cn-ws/changelog.html> voor CN-WS en <https://cn-ws.github.io/pynws/changelog.html> voor pynws). Het versiebeheer zal voor beide codes gelijkaardig verlopen, met het gebruik van drie nummers (x.x.x):

1. Eerste cijfer: grote veranderingen - versie waarbij incompatibele veranderingen met de vorige versie zijn gebeurd.
2. Tweede cijfer: kleine veranderingen – versie waarbij een extra functionaliteit is toegevoegd en die compatibel is met de vorige versie.
3. Derde cijfer: `patch`-veranderingen - versie waarbij een bug hersteld is en die compatibel is met de vorige versie.

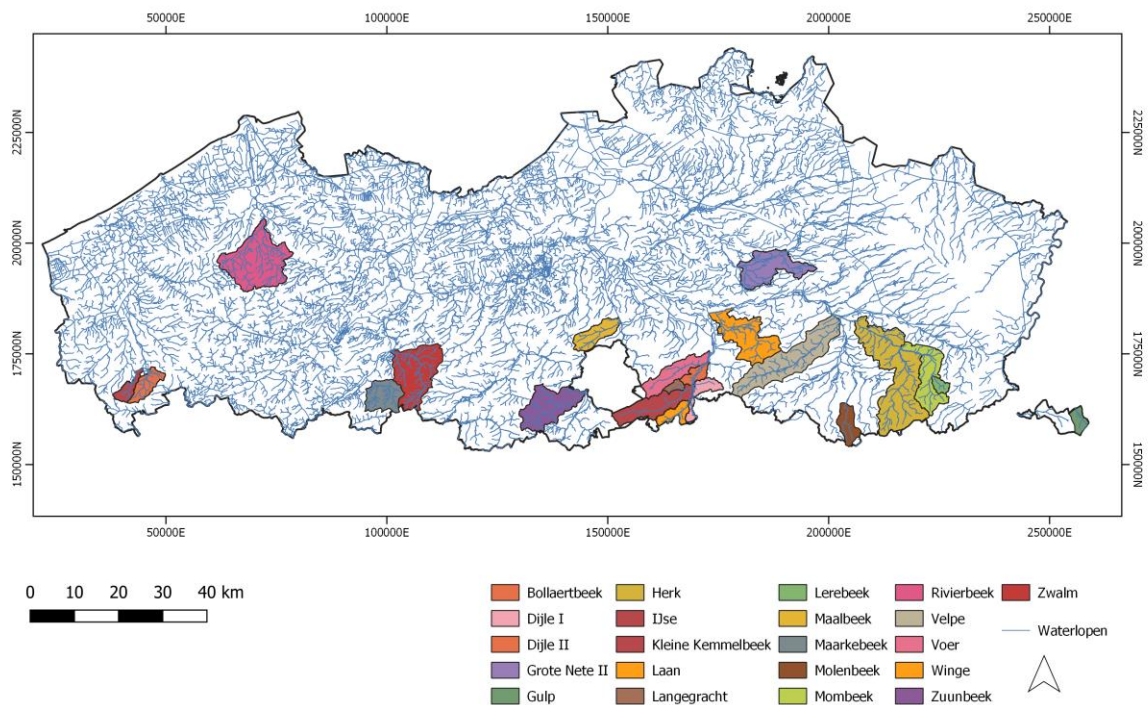
Het is belangrijk om op te merken dat bij elke release van pynws vermeld staat welke versie van CN-WS is gebruikt. Dit is belangrijk, gezien bij pynws de dataverwerking en het wegschrijven van input datalagen voor CN-WS afhangt van de implementatie van CN-WS.

In het versiebeheer van de code wordt voorgesteld om éénmaal per jaar de dataset voor het model te updaten. Op dit moment verloopt het databeheer via een tekstbestand dat aanduidt welke datalagen gebruikt worden (zie <https://github.com/cn-ws/pynws/>

9 DOORREKENING PILOOTGEBIEDEN

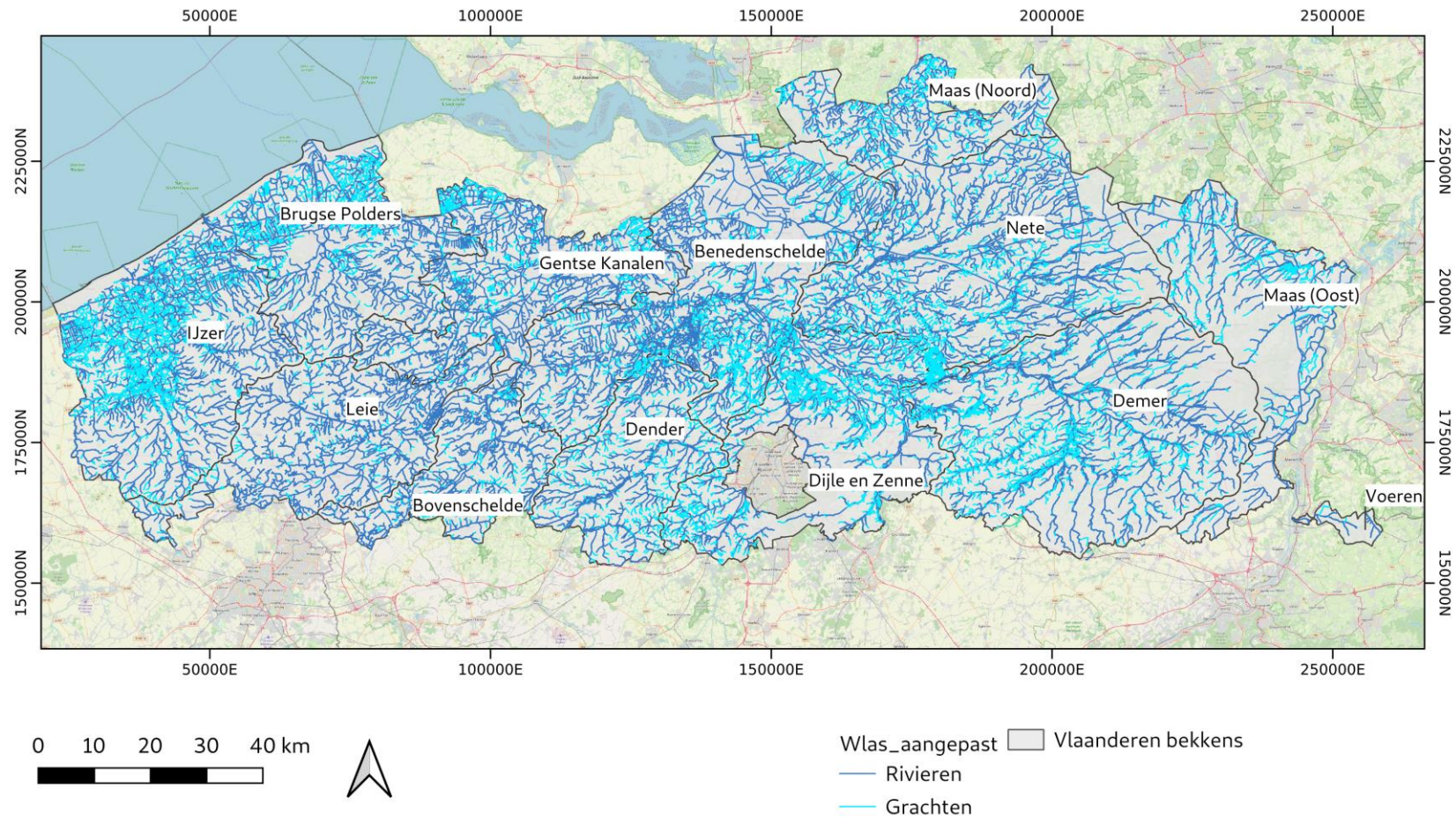
9.1 PILOOTGEBIEDEN

De simulaties met het CN-WS model na aanpassingen en verfijningen aan de inputdata en CN-WS-code moeten geëvalueerd en gevalideerd worden om een inzicht te krijgen in het effect van de aanpassingen. Daarom werden de resultaten van het model voor verschillende studiegebieden afgetoetst met terreinwaarnemingen (Figuur 6). Deze doorrekeningen gebeurden op vraag van de betrokkenen en werden door experts met lokale kennis geëvalueerd tijdens vergaderingen en terreinbezoeken. Op basis van hun opmerkingen en eigen vaststellingen werden aanpassingen doorgevoerd. Dit was, en blijft, een iteratief proces. Er worden hier geen resultaten getoond voor de simulaties in deze gebieden, omdat deze berekeningen voornamelijk gebeurd zijn met oudere modelversies.

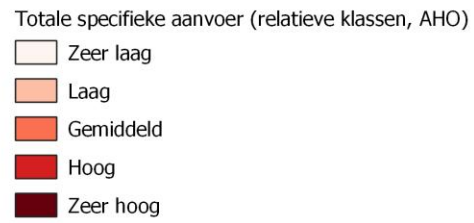
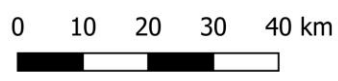
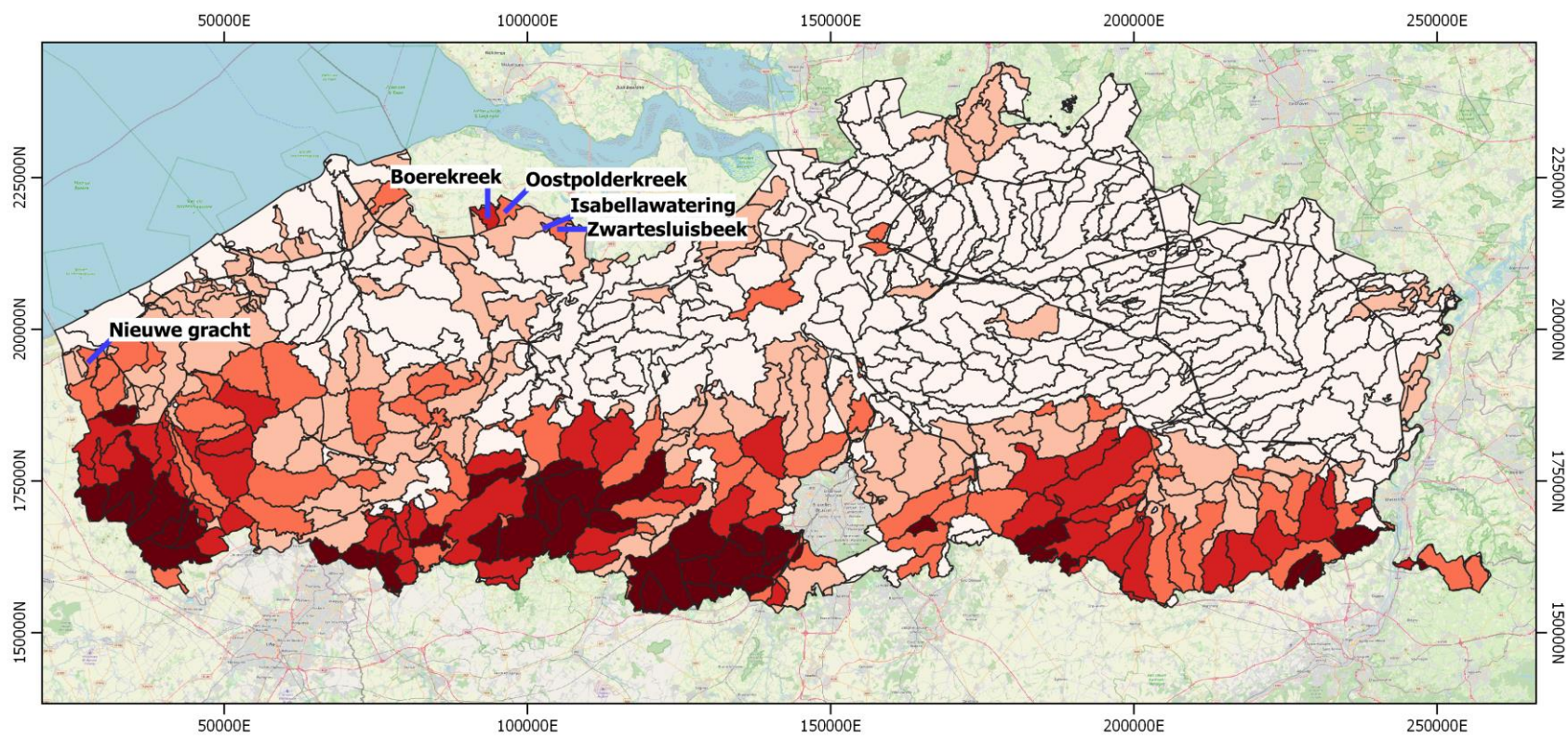


Figuur 6: Ligging van alle doorgerekende studiegebieden

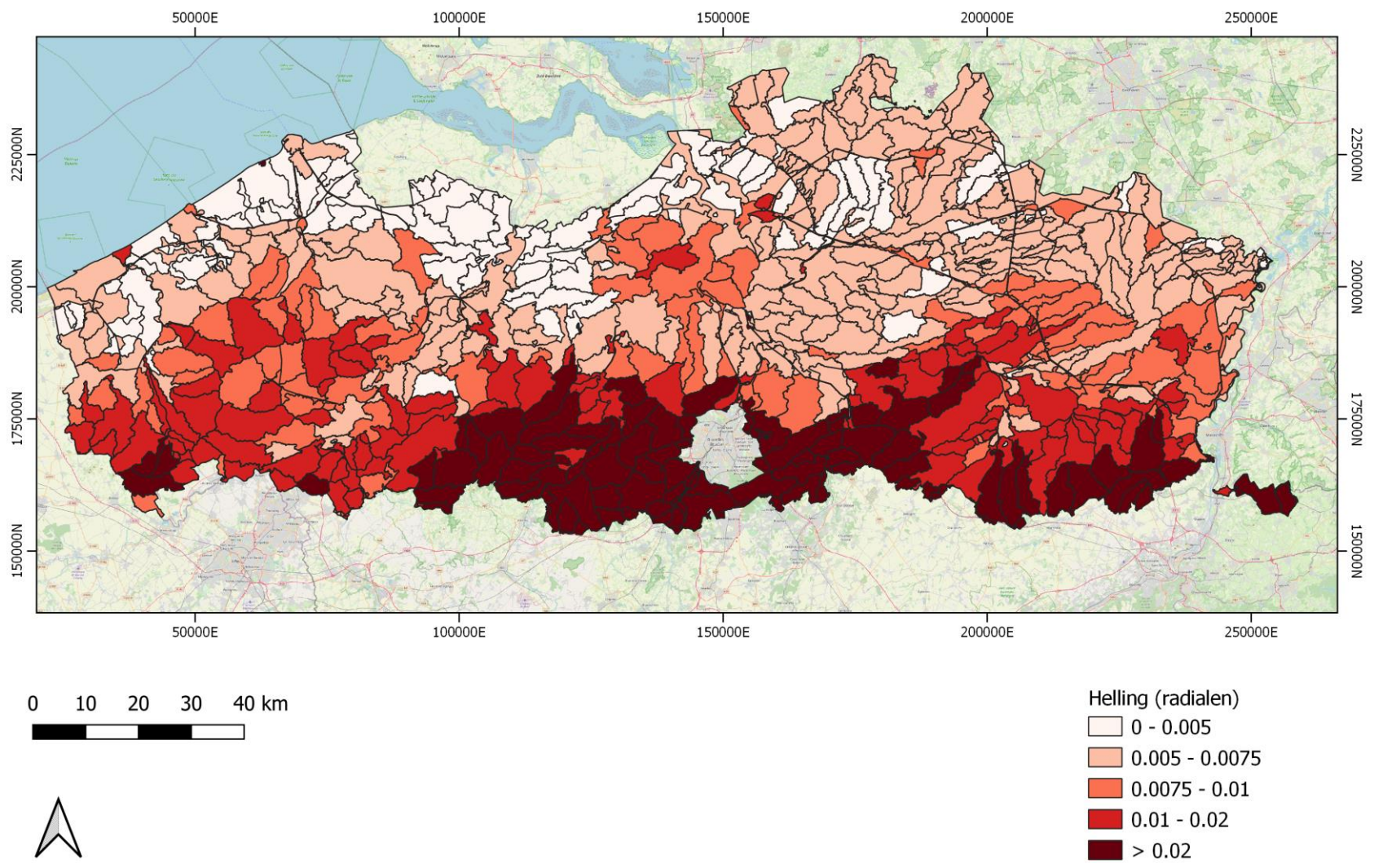
Alle studiegebieden waar de sedimentaanvoer naar de waterlopen, riolering of grachten berekend werd, worden weergegeven in Figuur 6. Uit Tabel 11 blijkt dat deze studiegebieden sterk verschillen in grootte.



Figuur 8: Geografische verschillen in de dichtheid van het VHA-netwerk



Figuur 10: Totale specifieke sedimentaanvoer (ton ha⁻¹ jaar⁻¹, ingedeeld in klassen: “Zeer laag”: < 0,3, “Laag”: [0,3-0,6[, “Gemiddeld”: [0,6-0,9[, “Hoog”: [0,9-1,20[en “Zeer hoog”: > 1,20) volgens scenario A



Figuur 11: Mediane helling per AHO-bekken (radialen)

Tabel 17: Overzicht van de hoeveelheid opgevangen sediment in buffers en in grasstroken voor scenario A en C1

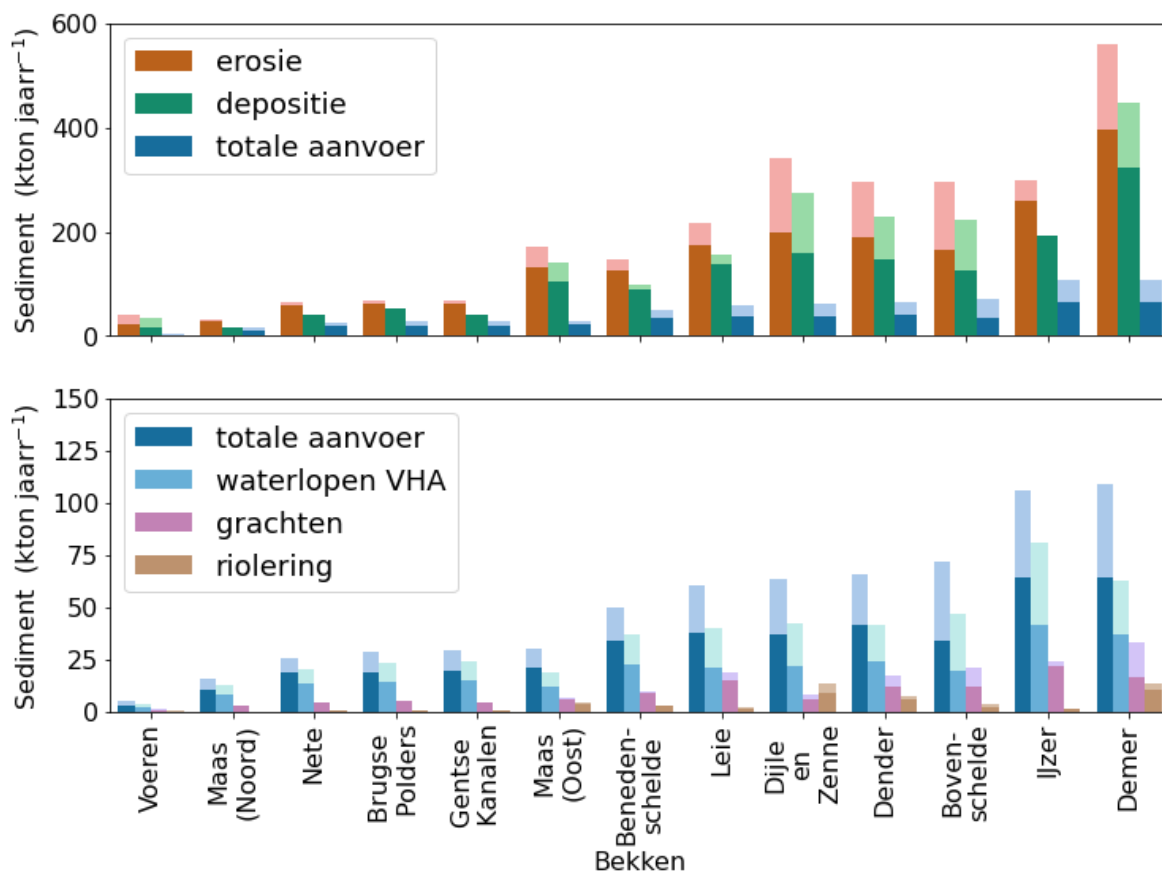
Bekken	Areaal grasstroken (ha)			Opgevangen hoeveelheid in grasstroken (ton jaar ⁻¹)			Aantal buffers			Opgevangen hoeveelheid in bufferelementen (ton jaar ⁻¹)			Reductie in totale sedimentaanvoer	
	A	C1	Vershil	A	C1	Vershil	A	C1	Vershil	A	C1	Vershil	ton jaar ⁻¹	%*
Brugse Polders	744	762	18	296	403	107	0	4	4	0	2	2	73	0
Gentse Kanalen	302	330	28	204	422	218	0	18	18	0	35	35	229	1
Benedenschelde	164	435	271	842	4.582	3.739	22	421	399	85	745	661	2.802	6
Bovenshelde	161	1.732	1.572	3.220	39.996	36.776	168	2178	2.010	1.855	4.429	2.575	21.586	30
Demer	2.290	3.758	1.468	27.301	57.944	30.642	159	1613	1.454	1.785	6.720	4.935	15.823	14
Dender	162	996	834	3.541	19.294	15.753	43	772	729	330	1.641	1.311	9.009	14
Dijle en Zenne	1.121	1.946	826	24.521	42.243	17.721	90	818	726	873	2.498	1.625	10.646	17
IJzer	1.364	2.028	664	1.073	7.468	6.395	19	139	120	25	292	267	5.153	5
Leie	79	747	668	943	10.211	9.268	23	556	531	65	1.244	1.179	6.328	10
Maas (Oost)	347	556	210	2.708	9.155	6.447	43	254	211	705	2.032	1.327	3.147	11
Maas (Noord)	68	68	0	26	26	0	0	0	0	0	0	0	468	3
Nete	404	404	0	157	157	0	1	1	0	0	0	0	0	0
Voeren	95	186	91	2.859	6.265	3.406	7	80	73	21	594	572	1.813	36
Vlaanderen	7.300	13.949	6.649	67.693	198.166	130.473	575	6854	6279	5.743	20.233	14.490	77.078	12

* berekend ten opzichte van scenario A

11.4.3 Scenario C3: oeverstroken

In een derde scenario wordt onderzocht wat het effect is van het aanleggen van oeverstroken op akkerlandpercelen langs de rivieren en grachten, opgenomen in de VHA. In dit scenario wordt een buffer rond de VHA-segmenten bepaald met een breedte van 20 m. Concreet wordt de VHA-lijn omgevormd naar een polygoon met een breedte van 40 m, zodat een grasstrook gesimuleerd wordt aan beide zijden van de waterloop. De breedte van 20 m is de theoretische breedte om de impact van oeverstroken maximaal in te schatten; in de praktijk zal de noodzakelijke breedte van oeverstroken afhangen van de terreinsituatie. Vervolgens wordt de intersectie bepaald tussen de akkerpercelen (enkel percelen met landgebruik akkerland!) en deze oeverstroken-shape om de oeverstroken te selecteren die op akkerland gelegen zijn. Vervolgens worden deze polygoon naar een raster omgezet via het all-touched algoritme. Voor de bepaling van de C-factor van deze pixels wordt een breedte van 20 m verondersteld zodat de C-factor voor deze grasbufferpixels gelijk gesteld wordt aan 0,01 (zie vergelijking (7) met $B_{gr}=20\text{ m}$ en resolutie = 20 m). In het vervolg van deze tekst worden deze grasbufferstroken benoemd als *oeverstroken*. Deze maatregelen worden geïnclassificeerd onder symptoomgerichte maatregelen.

Het toepassen van scenario C3 leidt tot een grote reductie - in absolute en relatieve termen - van de totale sedimentaanvoer (zie Figuur 23, Tabel 19 en Tabel 20, alsook Tabel 29 in Appendix B). De procentuele reductie van de totale sedimentaanvoer per bekken varieert tussen de 15 % (Dender) en 35 % (IJzerbekken), met reducties die vaak boven de 20 % liggen. De bekken Gentse Kanalen, Brugse Polders en het IJzerbekken kennen de grootste procentuele reducties (> 30 %). Dit zijn bekken met een grote rivierdensiteit en een relatief groot akkerlandareaal (zie Tabel 12). Bekken met een lage rivierdensiteit en een relatief klein aandeel akkerland kennen de laagste procentuele reducties. Typisch worden de grootste reducties geobserveerd in de sedimentaanvoer naar de VHA, wat logisch is gezien de grasbufferstroken enkel langs deze waterlopen gesimuleerd worden. (Figuur 23). Een belangrijke observatie is dat de hoeveelheid erosie slechts licht gedaald is (op schaal Vlaanderen, 2,5 % t.o.v. scenario A) terwijl de hoeveelheid depositie is gestegen (6 % op schaal Vlaanderen). Het grootste verschil tussen de hoeveelheid depositie wordt geobserveerd voor het IJzerbekken. Het is belangrijk om op te merken dat deze maatregelen erosie niet veel verminderen, maar wel de hoeveelheid depositie langs de waterlopen verhogen, in tegenstelling tot scenario C2 waar zowel erosie en depositie sterk dalen. Dit type maatregelen is dan ook zeer symptoomgericht en draagt niet bij tot het behoud van de bodemkwaliteit op de akkers.



Figuur 24: Vergelijking van **standaardscenario C4** (donkere kleuren) met **standaardscenario A** (lichtere kleuren). De totale erosie, sedimentatie en sedimentaanvoer zijn weergegeven in de bovenste plot, terwijl de totale sedimentaanvoer en de sedimentaanvoer naar de VHA-waterlopen, grachten en riolering zijn aangeduid in de onderste plot.

11.5 EVALUATIE VAN STANDAARDSCENARIO D OP SCHAAL VLAANDEREN

De resultaten van de berekening voor Vlaanderen voor het standaardscenario D, gedefinieerd in sectie 5.7.4, worden afgebeeld in Figuur 27 (en Tabel 31, appendix B). Bij dit scenario worden de reële teelten en teeltpraktijken in een bepaald jaar mee in rekening gebracht. Hiervoor werd de C-factorenkaart gebruikt, die werd opgesteld in het kader van de erosierisico-indicator (Swerts et al., 2020). Bij de bepaling van deze C-factoren werd rekening gehouden met de hoofdteelt, voor- en nateelten, beheerovereenkomsten en teelttechnische maatregelen die op parse en rode percelen in het kader van de randvoorwaarden erosie van het Gemeenschappelijk Landbouwbeleid (GLB) verplicht zijn. Voor wat betreft de maatregelen in het kader van de randvoorwaarden werden aannames van toepassingsgraden gebaseerd op de monitoringresultaten van het departement Landbouw en Visserij, waarna de maatregelen gerandomiseerd werden toegekend aan landbouwpercelen, rekening houdend met teelten en erosieklasse. Deze randomisatie heeft tot gevolg dat de modelresultaten van dit scenario enkel geschikt zijn voor de inschatting van reducties van sedimentaanvoer op grote schaal en niet voor detailanalyses van kleine gebieden.

Er wordt geobserveerd dat de hoeveelheid erosie verlaagt ten opzicht van standaardscenario A, alsook het aandeel sedimentatie. Dit leidt tot een lagere gesimuleerde sedimentaanvoer naar de VHA, riolering en grachten, die gesommeerd voor alle bekkens 17 % bedraagt. De sedimentaanvoer voor het bekken in Voeren is ongeveer 48% lager, terwijl dit voor het Leiebekken slechts 10% bedraagt. Deze resultaten tonen aan dat het gebruik van jaarafhankelijke condities een effect heeft op de resultaten. Daarbij wordt het belangrijk om de toestand in functie van de jaren te evalueren.

Tabel 27: Modelresultaten voor Vlaanderen voor scenario C1 op jaarbasis

Stroomgebied	Erosie (ton)	Sedimentatie (ton)	In VHA (ton)	In riolering (ton)	In grachten (ton)	Totale aanvoer (ton)	Doorvoerratio (-)*
Brugse Polders	68.805	49.199	23.271	304	4.747	28.323	0,34
Gentse Kanalen	67.558	38.394	24.313	254	4.301	28.867	0,36
Benedenschelde	141.896	94.009	35.140	2.795	8.929	46.864	0,25
Bovenshelde	244.537	189.590	34.213	2.677	13.063	49.953	0,14
Demer	524.469	423.131	55.970	10.788	26.576	93.335	0,11
Dender	274.039	216.397	36.559	6.070	13.837	56.466	0,13
Dijle en Zenne	316.394	260.509	35.553	10.617	6.716	52.887	0,11
IJzer	290.355	187.032	77.817	985	22.411	101.213	0,27
Leie	206.971	151.114	36.714	1.664	15.638	54.016	0,18
Maas (Oost)	163.223	132.866	16.949	3.674	6.130	26.752	0,10
Maas (Noord)	30.808	15.758	12.247	101	2.525	14.872	0,40
Nete	63.880	38.273	20.207	632	4.550	25.388	0,32
Voeren	34.283	30.161	2.382	164	655	3.201	0,07
Vlaanderen	2.427.217	1.826.434	411.334	40.725	130.077	582.136	0,17

* De doorvoerratio wordt berekend door de totale sedimentaanvoer naar de VHA te delen door de totale hoeveelheid erosie.

Tabel 28: Modelresultaten voor Vlaanderen voor scenario C2 op jaarbasis

Stroomgebied	Erosie (ton)	Sedimentatie (ton)	In VHA (ton)	In riolering (ton)	In grachten (ton)	Totale aanvoer (ton)	Doorvoerratio (-)*
Brugse Polders	68.904	49.224	23.286	308	4.801	28.395	0,34
Gentse Kanalen	67.769	38.444	24.319	262	4.483	29.064	0,36
Benedenschelde	134.663	86.512	35.185	3.031	9.554	47.770	0,26
Bovenshelde	196.899	136.102	37.852	3.235	17.789	58.876	0,19
Demer	420.451	320.405	55.077	12.013	30.008	97.097	0,13
Dender	204.615	150.341	33.580	6.325	14.414	54.319	0,16
Dijle en Zenne	214.056	160.170	34.466	10.864	7.261	52.590	0,16
IJzer	282.426	176.947	78.800	1.031	23.728	103.559	0,28
Leie	190.113	132.053	37.690	1.836	17.911	57.438	0,20
Maas (Oost)	138.158	108.199	17.672	3.894	6.277	27.843	0,13
Maas (Noord)	30.808	15.758	12.247	101	2.525	14.872	0,40
Nete	63.866	38.265	20.207	626	4.550	25.382	0,32
Voeren	25.103	21.024	2.819	106	821	3.745	0,11
Vlaanderen	2.037.832	1.433.444	413.199	43.629	144.123	600.951	0,20

* De doorvoerratio wordt berekend door de totale sedimentaanvoer naar de VHA te delen door de totale hoeveelheid erosie.

Tabel 30: Modelresultaten voor Vlaanderen voor scenario C4 op jaarbasis

Stroomgebied	Erosie (ton)	Sedimentatie (ton)	In VHA (ton)	In riolering (ton)	In grachten (ton)	Totale aanvoer (ton)	Doorvoerratio (-)*
Brugse Polders	63.322	53.075	23.271	305	4.760	19.026	0,37
Gentse Kanalen	61.528	41.819	24.313	254	4.304	19.448	0,40
Benedenschelde	124.361	89.409	35.140	2.718	8.759	34.141	0,28
Bovenshelde	163.836	126.253	34.213	2.387	11.863	33.819	0,21
Demer	394.669	323.523	55.970	10.735	16.275	64.149	0,14
Dender	189.978	147.532	36.559	5.528	12.057	41.545	0,19
Dijle en Zenne	197.906	158.384	35.553	9.072	5.891	37.038	0,18
IJzer	258.753	192.424	77.817	974	22.100	64.474	0,30
Leie	175.487	136.525	36.714	1.627	15.154	37.448	0,21
Maas (Oost)	130.634	106.116	16.949	3.388	5.812	21.361	0,13
Maas (Noord)	28.661	18.026	12.247	101	2.530	10.458	0,43
Nete	60.495	41.386	20.207	626	4.557	18.900	0,33
Voeren	21.524	17.991	2.382	105	615	2.778	0,11
Vlaanderen	1.871.157	1.452.463	411.334	37.819	114.677	404.584	0,22

* De doorvoerratio wordt berekend door de totale sedimentaanvoer naar de VHA te delen door de totale hoeveelheid erosie.

Tabel 31: Modelresultaten voor Vlaanderen, scenario D op jaarbasis

Stroomgebied	Erosie (ton)	Sedimentatie (ton)	In VHA (ton)	In riolering (ton)	In grachten (ton)	Totale aanvoer (ton)	Doorvoerratio (-)*
Brugse Polders	59.382	44.242	19.475	249	4.186	23.909	0,33
Gentse Kanalen	58.010	33.240	20.385	211	3.943	24.539	0,35
Benedenschelde	122.199	80.327	30.287	2.692	8.507	41.485	0,25
Bovenschelde	240.228	177.461	39.363	3.194	17.992	60.549	0,16
Demer	491.286	400.467	55.576	12.310	19.956	87.842	0,11
Dender	239.373	185.499	33.298	5.860	14.623	53.781	0,14
Dijle en Zenne	278.832	223.783	35.617	10.868	7.290	53.775	0,13
IJzer	267.355	176.169	72.561	936	16.619	90.116	0,27
Leie	194.103	139.168	35.559	1.589	17.171	54.318	0,18
Maas (Oost)	147.076	121.876	15.307	3.714	4.161	23.181	0,10
Maas (Noord)	21.478	11.074	8.421	73	1.777	10.272	0,39
Nete	46.343	27.934	14.391	446	3.397	18.234	0,31
Voeren	26.177	23.251	1.774	153	657	2.584	0,07
Vlaanderen	2.191.843	1.644.490	382,012	42,295	120,277	544.584	0,24

* De doorvoerratio wordt berekend door de totale sedimentaanvoer naar de VHA te delen door de totale hoeveelheid erosie.

